

## การออกแบบและพัฒนาโปรแกรมคำนวณค่าความเข้มสนามแม่เหล็กของสายส่ง และสายจ่ายหน่วยแรงสูง

### Design and Development of Calculation Program for Magnetic Fields Intensity of High Voltage Transmission and Distribution Lines

ประภาพร คงอิอบัวณรัตน์\*

\* ผู้ช่วยศาสตราจารย์ สาขาวิชาวิศวกรรมไฟฟ้า คณะวิศวกรรมศาสตร์ มหาวิทยาลัยเชียงใหม่ กรุงเทพฯ 10160

#### บทคัดย่อ

บทความนี้เป็นการนำเสนอโปรแกรมที่พัฒนาขึ้นสำหรับการคำนวณค่าความเข้มสนามแม่เหล็กของสายส่ง และสายจ่ายหน่วยแรงสูง พัฒนาโดยใช้โปรแกรม Microsoft Visual Basic และจัดทำฐานข้อมูลเพื่อเก็บค่าพิเศษ กระแสสูงสุด ค่าความสูงและระยะห่างของสายไฟฟ้าโดยใช้โปรแกรม Microsoft Access โปรแกรมที่พัฒนาขึ้นมา นี้สามารถคำนวณค่าความเข้มสนามแม่เหล็กของสายส่งและสายจ่ายหน่วยแรงสูงตามมาตรฐานที่ใช้งานของการไฟฟ้าส่วนภูมิภาคได้ 2 มาตรฐาน คือ ระบบสายลำนำไฟฟ้าแรงสูง 22 kV วงจรเดียวหนึ่งตัวนำ ระบบสายส่ง แรงสูง 115 kV วงจรเดียวหนึ่งตัวนำ ซึ่งสามารถเลือกรูปแบบโครงสร้างของระบบไฟฟ้าที่ต้องการคำนวณได้ พร้อม ทั้งสามารถเลือกชนิดและขนาดของสายไฟฟ้าจากรายการที่กำหนดไว้ในฐานข้อมูลเพื่อให้สอดคล้องกับรูปแบบ โครงสร้างของระบบไฟฟ้าที่จะทำการคำนวณ และแสดงผลการคำนวณค่าความเข้มสนามแม่เหล็กของสายส่งและ สายจ่ายหน่วยแรงสูงในระบบไฟฟ้า ผ่านทางหน้าจอคอมพิวเตอร์ได้ โปรแกรมที่พัฒนาขึ้นนี้ส่งผลให้การคำนวณ ค่าความเข้มสนามแม่เหล็กของสายส่งและสายจ่ายหน่วยแรงสูงสามารถทำได้อย่างรวดเร็ว และเป็นประโยชน์ สำหรับการนำข้อมูลค่าความเข้มสนามแม่เหล็กที่ได้จากการคำนวณไปใช้ในการวิเคราะห์ผลกระทบที่อาจจะเกิดขึ้น ต่ออุปกรณ์ไฟฟ้าและอิเล็กทรอนิกส์ต่างๆ ได้

#### Abstract

This paper presents a program developed for calculating magnetic field intensity of high voltage transmission line and high voltage distribution lines. This program was developed with Microsoft Visual Basic and Microsoft Access program was used to store the database of the peak ratings current, height and space of transmission lines. The developed program was able to calculate magnetic field intensity of high voltage transmission line and high voltage distribution lines according to 2 standards of Provincial Electricity (PEA): "A 22 kV Single Conductor Circuit High Voltage Distribution System" and "115 kV Single Conductor Circuit High Voltage Transmission System". The program was able to select structure of the electrical system to be calculated, as well as types and specification of Transmission line from the stored database that corresponded with the structure. The calculated output waveforms were displayed on computer monitor. Results from the developed program enable more convenient and faster calculations of magnetic field intensity of high voltage transmission line and high voltage distribution lines, and are useful for analysis of possible impacts on electric and electronic devices.

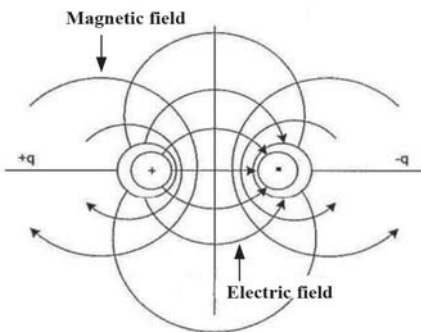
คำสำคัญ : ความเข้มสนามแม่เหล็ก สายส่ง สายจ่าย

Keywords : Magnetic Field Intensity, Transmission Line, Distribution Lines

\* ผู้อพันธ์ประจำงานประชุมนี้ อิเล็กทรอนิกส์ prapapank@sau.ac.th โทร. 0 2807 4500 ต่อ 307

## 1. บทนำ

ปัจจุบันความต้องการใช้พลังงานไฟฟ้ามีปริมาณสูงขึ้นเนื่องจากจำนวนประชากรที่เพิ่มมากขึ้นประกอบกับความเจริญก้าวหน้าทางเทคโนโลยีที่เพิ่มขึ้น โหลดส่วนใหญ่ของผู้ใช้ไฟจึงเป็นอุปกรณ์ไฟฟ้าแสงสว่าง เครื่องใช้ไฟฟ้า คอมพิวเตอร์และอุปกรณ์ลือสาร ซึ่งจัดเป็นอุปกรณ์อิเล็กทรอนิกส์ที่มีความไวสูง ในขณะเดียวกันพื้นที่สำหรับการก่อสร้างอาคารและที่อยู่อาศัยมีจำนวนจำกัดทำให้อาคารบ้านเรือนที่อยู่อาศัยในปัจจุบัน มีลักษณะเป็นอาคารสูง อาคารชุดที่อยู่เรียงรายรวมกันเป็น很多 ๆ ดังนั้น การขยายระบบส่งจ่ายไฟฟ้าแรงสูงและระบบจำหน่ายไฟฟ้าแรงสูง จึงทำให้บริเวณสำหรับการก่อสร้างเสลาส่งและแนวสายส่งแนวสายจำหน่ายของการไฟฟ้าส่วนภูมิภาค ไปยังโหลดของผู้ใช้ไฟอยู่ใกล้กับอาคาร สิ่งปลูกสร้าง และแหล่งชุมชนมากขึ้น ซึ่งจะมีผลทำให้อุปกรณ์อิเล็กทรอนิกส์ อุปกรณ์ลือสาร หรืออุปกรณ์คอมพิวเตอร์ต่าง ๆ ที่อยู่ในตัวอาคาร มีโอกาสได้รับผลกระทบจากลักษณะรวมกันที่เกิดจากสนามแม่เหล็กไฟฟ้าจากสายส่งจ่ายไฟฟ้าแรงสูงและสายจำหน่ายไฟฟ้าแรงสูงได้ง่าย เนื่องจากตัวนำในสายส่งจ่ายไฟฟ้าแรงสูงได้ กิตตมที่มีความต่างศักย์ไฟฟ้าจะทำให้เกิดสนามไฟฟ้า (Electric field) และเมื่อมีกระแสไฟฟ้าไหลผ่านตัวนำนั้น จะทำให้เกิดสนามแม่เหล็ก (Magnetic Field) เกิดขึ้นรอบ ๆ ตัวนำ ซึ่งจะมีพิษทางด้านชาภัยกับสนามไฟฟ้าเสมอ ดังรูปที่ 1 ลักษณะสนามไฟฟ้าและสนามแม่เหล็กรอบตัวนำ 2 เล่น



รูปที่ 1 ลักษณะของสนามไฟฟ้าและสนามแม่เหล็กรอบตัวนำ 2 เล่น

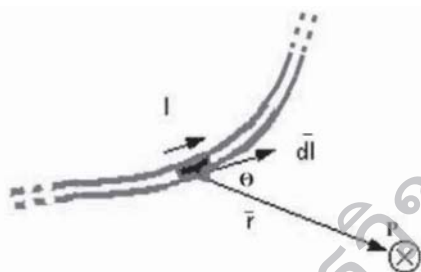
IEEE Std 644-1994 ได้แสดงถึงรายละเอียดของเครื่องวัดค่าความเข้มสนามแม่เหล็กไฟฟ้าจากสายส่งไฟฟ้าแรงสูงสามารถแบ่งออกได้ตามเทคนิคของการทำงานได้เป็น 2 ชนิด คือ ชนิด Free - Body Meter และชนิด Ground-Reference-type Meter ซึ่งหลักการทำงานของเครื่องวัดค่าความเข้มสนามไฟฟ้าจะอาศัยการเคลื่อนที่ของประจุไฟฟ้าที่ลอมอยู่บนตัวเซ็นเซอร์ ซึ่งมาจากโลหะสังล่าวตระกลางกันด้วยฉนวน ทำให้มีกระแสไฟฟ้าเกิดขึ้นระหว่างโลหะทั้งสอง ในปัจจุบันการวัดค่าความเข้มของสนามแม่เหล็กไฟฟ้าสามารถใช้ Gauss Meter วัดค่าสนามแม่เหล็กไฟฟ้าออกมาได้โดยมีหน่วยวัดเป็นเกาส์ ซึ่ง Gauss Meter แต่ละรุ่นจะใช้งานแตกต่างกันตามระดับความเข้มสนามแม่เหล็กไฟฟ้าที่วัดได้ แตกต่างกันที่ราคาและความแม่นยำ

Govindarajan B. Iyyuni and Stephen A. Sebo (1990) ได้ทำการศึกษาเกี่ยวกับสนามแม่เหล็กและพัฒนาโปรแกรมการคำนวณค่าสนามแม่เหล็กของสายส่งไฟฟ้าแรงสูง โดยใช้ IBM PC-XT สามารถคำนวณสนามไฟฟ้า 2 มิติ

และพารามิเตอร์ของสนามแม่เหล็กที่บริเวณ  
สายส่งไฟฟ้าแรงสูงได้

Kaune and Zaffanella (1992) ได้วิเคราะห์  
สนามแม่เหล็กที่เกิดขึ้นในสายส่งกำลังไฟฟ้าโดย  
ได้เปรียบเทียบระหว่างทางในตำแหน่งที่สนใจกับ  
ช่องว่างของตัวนำไฟฟ้าในสาย

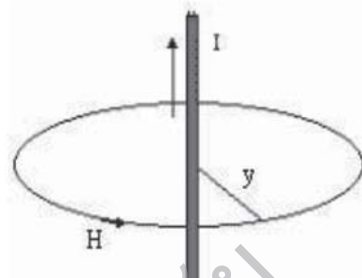
Jean-Baptiste Biot and Félix Savart ได้  
อธิบายไว้ว่าสนามแม่เหล็ก ณ จุดใดที่ห่างออกจาก  
แหล่งกำเนิดสนามแม่เหล็กที่มีกระแสไฟฟ้าหรือ  
ประจุไฟฟ้าเคลื่อนที่อยู่ โดยระบุได้ทั้งขนาดและ  
ทิศทางของสนามแม่เหล็กซึ่งเป็นปริมาณเวกเตอร์  
แสดงดังรูปที่ 2



รูปที่ 2 สนามแม่เหล็กที่เกิดจากกระแส  $I$  ไหลในตัวนำ  
ยาว  $dl$

จากรูปที่ 2 ถ้าแบ่งเลี้นลวดออกเป็นส่วน  
เล็ก ๆ ขนาด  $dl$  โดยที่  $dl$  เป็นปริมาณเวกเตอร์มีทิศ  
เดียวกันกับทิศการไหลของกระแสไฟฟ้า  $I$  สนาม  
แม่เหล็กที่เกิดจากกระแสไฟฟ้าผ่านตัวนำ  $dl$  ที่จุด  
 $P$  มีค่าน้อย ๆ เท่ากับ  $dH$  ซึ่งมีทิศตั้งฉากกับ  $dl$   
เสมอ ขนาดของ  $dH$  จะเป็นสัดส่วนโดยตรงทั้ง  
ขนาดของกระแส และแปรผกผันกับระยะห่าง  
ระหว่างจุด  $P$  กับ  $dl(r)$  และโดยตรงกับ  $\sin \theta$   
เมื่อ  $\theta$  คือ มุมระหว่าง  $dl$  กับ ทิศของ  $r$  เชียนเป็น  
สมการได้ ดังนี้

$$dH = \frac{1}{4\pi} \frac{Idl \sin \theta}{r^2} \quad (1)$$



รูปที่ 3 ความเข้มสนามแม่เหล็กที่ระยะ  $y$

จากรูปที่ 3 การคำนวณค่าสนามแม่เหล็กที่  
เกิดจากสายส่งไฟฟ้าแรงสูงได้พิจารณาจากความ  
เข้มสนามแม่เหล็ก  $H$  ซึ่งมีความสัมพันธ์กับค่า  
กระแสไฟฟ้า  $I$  และระยะห่างจากสายไฟฟ้าไปยัง  
จุดที่พิจารณา

$$H = \frac{I}{2\pi y} \quad (2)$$

เมื่อ  $H$  คือ ค่าสนามแม่เหล็กที่เกิดจากสาย  
ตัวนำ มีหน่วยเป็น  $A/m$

$I$  คือ กระแสไฟฟ้าที่ไหลผ่านในสายตัวนำ  
มีหน่วยเป็น  $A$

$y$  คือ ระยะห่างจากสายไฟฟ้าตามแนว  
แกน  $y$

การคำนวณค่าสนามแม่เหล็กที่เกิดจาก  
สายส่งไฟฟ้าแรงสูงหลายเส้น ( $A, B, \dots$ ) วางแผน  
กัน จะอาศัยกฎของ Bio-Savart เพื่อหาความเข้ม<sup>1</sup>  
สนามแม่เหล็ก ( $H$ ) ณ จุด  $P(x, y)$  ได ๆ บนพื้นดิน  
ได ดังนี้

$$\bar{H}_A = \frac{\bar{I}_A \times r_A}{2\pi r_A^2} = \frac{I_A}{2\pi r_A} \cdot \bar{\Phi}_A \text{ A / m} \quad (3)$$

เมื่อ  $\bar{H}_A$  คือ ความเข้มสนามแม่เหล็กที่เกิดจากสายไฟควบเฟล A มีหน่วยเป็น A/m

$\bar{I}_A$  คือ กระแสไฟฟ้าที่ไหลในสายไฟควบเฟล A

$r_A$  คือ ระยะทางจากสายไฟควบเฟล A ไปยังจุด P(x,y) มีหน่วยเป็น m

$\Phi$  คือ Unit vector ในทิศ  $r_A$

ผลรวมความเข้มสนามแม่เหล็กที่เกิดจากสายไฟควบเฟล A,B,... คือ

$$\bar{H}_A = \sum_{i=1}^n \frac{I_i}{2\pi r_i} \cdot \Phi_i \quad A / m \quad (4)$$

เมื่อ i คือ สายไฟทุกสาย A,B,...

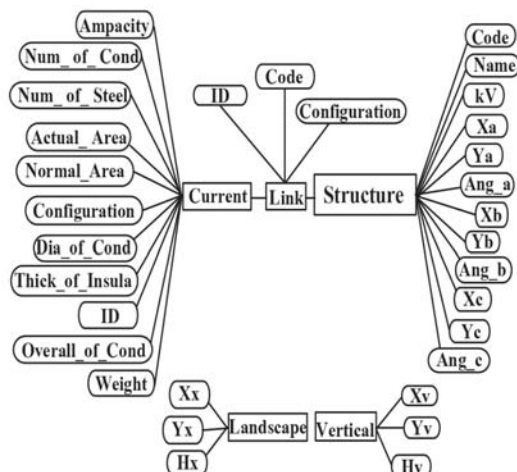
## 2. วิธีการทดลอง

### 2.1 การออกแบบโปรแกรม

#### 2.1.1 การออกแบบและจัดสร้างฐานข้อมูล

โปรแกรมคำนวณความเข้มสนามแม่เหล็กของสายส่งไฟแรงสูงและสายจำหน่ายไฟฟ้าแรงสูง มีค่าพารามิเตอร์ของโครงสร้างเสาไฟฟ้าอยู่ 2 มาตรฐาน คือ สายส่งไฟฟ้าแรงสูง 115 kV แบบวงจรเดียวหนึ่งตัวนำ สายจำหน่ายไฟฟ้าแรงสูง 22 kV แบบวงจรเดียวหนึ่งตัวนำ จะถูกจัดเก็บในฐานข้อมูลซึ่งได้ทำการออกแบบและจัดสร้างโดยใช้โปรแกรม Microsoft Access โดยแบ่งโครงสร้างฐานข้อมูลออกเป็น 5 ส่วน คือ ส่วนที่ 1 ชื่อ Current เป็นส่วนที่จัดเก็บข้อมูลต่าง ๆ ของสายไฟฟ้า เช่น ขนาดและชนิดของสาย พิกัดกระแสสูงสุด พื้นที่หน้าตัด พื้นที่หน้าตัดใช้งานจริง จำนวนแกนเหล็ก จำนวนสายตัวนำ เลี้นผ่านศูนย์กลางของตัวนำ ความหนาของฉนวน รวมถึงน้ำหนักของ

สายไฟฟ้า เป็นต้น ส่วนที่ 2 ชื่อ Structure เป็นส่วนที่จัดเก็บข้อมูลพิกัดตำแหน่งของสายไฟฟ้าเฟล A, เฟล B และเฟล C ตามมาตรฐานที่ใช้งานของ การไฟฟ้าส่วนภูมิภาค เช่น ระดับแรงดัน ระยะของสายไฟแต่ละเฟลที่ห่างจากกัน ระยะของสายไฟแต่ละเฟลที่สูงจากพื้นดิน มุมของกระแสในแต่ละเฟล ส่วนที่ 3 ชื่อ Link เป็นส่วนที่จัดเก็บโครงสร้างและขนาดสายไฟฟ้าที่ใช้งาน เช่น ชื่อโครงสร้างระบบ ขนาด และชนิดของสายไฟ ส่วนที่ 4 ชื่อ Landscape เป็นส่วนที่จัดเก็บข้อมูลผลการคำนวณความเข้มสนามแม่เหล็กในแนวระดับได้แก่ ระยะพิกัดแนวระดับ (X) ระยะพิกัดแนวตั้ง (Y) และความเข้มสนามแม่เหล็ก โดยข้อมูลในส่วนนี้จะเปลี่ยนแปลงทุกครั้งที่มีการคำนวณและส่วนสุดท้ายส่วนที่ 5 ชื่อ Vertical เป็นส่วนที่จัดเก็บข้อมูลผลการคำนวณความเข้มสนามแม่เหล็กในแนวตั้ง ได้แก่ ระยะพิกัดแนวระดับ (X) ระยะพิกัดแนวตั้ง (Y) และความเข้มสนามแม่เหล็ก โดยข้อมูลในส่วนนี้จะเปลี่ยนแปลงทุกครั้งที่มีการคำนวณเช่นเดียวกับส่วนที่ 4 โดยแต่ละส่วนจะมีรายละเอียดและเขตข้อมูลดังรูปที่ 4



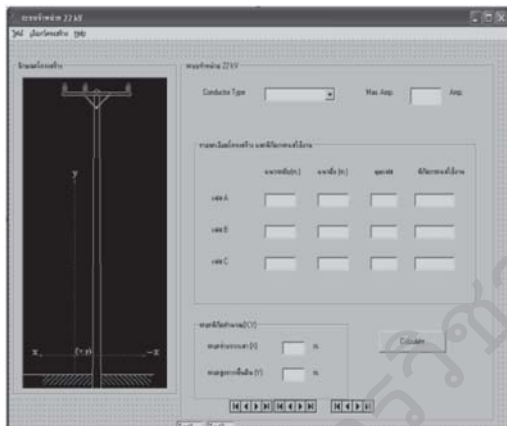
รูปที่ 4 แสดง E-R Diagram

### 2.1.2 การออกแบบโปรแกรมการประมวลผล

ผล

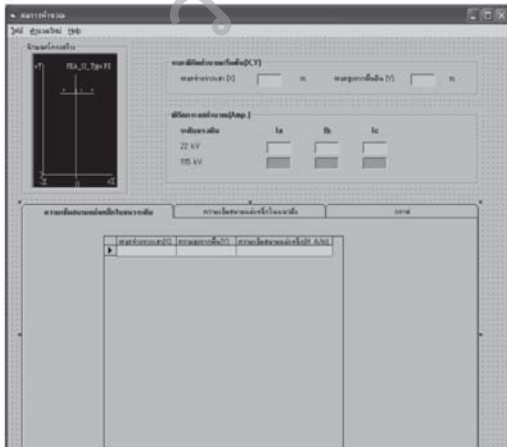
การออกแบบโปรแกรมการประมวลผลดำเนินการสร้างและออกแบบโดยโปรแกรม Microsoft Visual Basic ซึ่งประกอบด้วยหน้าต่างทำงาน (Form) ที่สำคัญอยู่ 2 หน้าต่าง คือ

- หน้าต่างรับค่า ใช้สำหรับรับค่าต่าง ๆ จากผู้ใช้งาน และใช้สำหรับรับค่าจากฐานข้อมูล และคำนวณโดยใช้สมการตามทฤษฎีของ Biot-Savart ดังรูปที่ 5



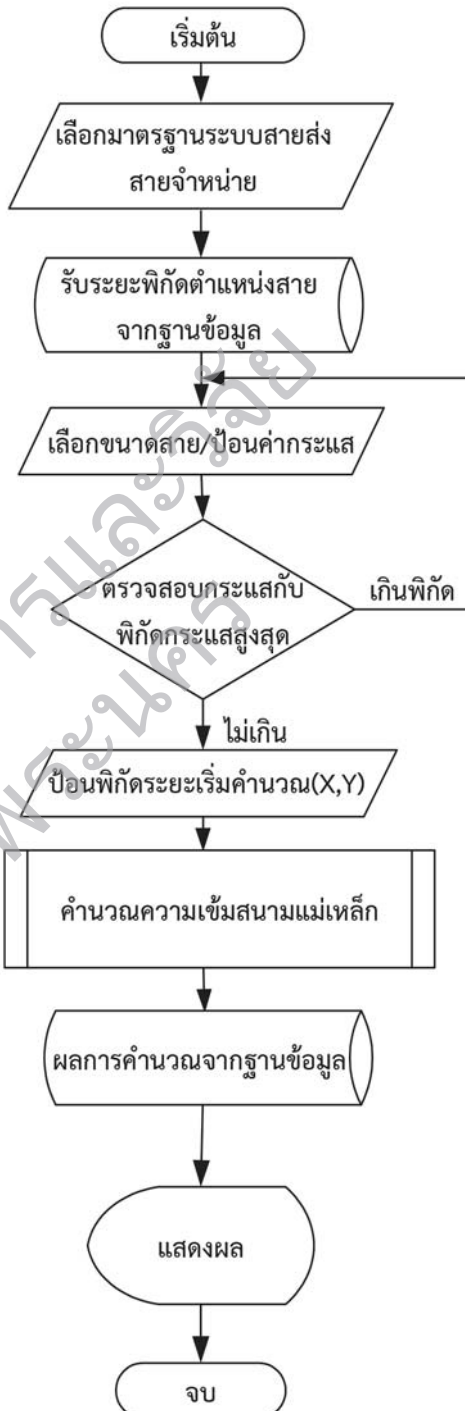
รูปที่ 5 แสดงหน้าต่างการรับค่า

- หน้าต่างการแสดงผล เป็นการแสดงผลของการคำนวณในรูปของตารางและกราฟ



รูปที่ 6 แสดงหน้าต่างการแสดงผล

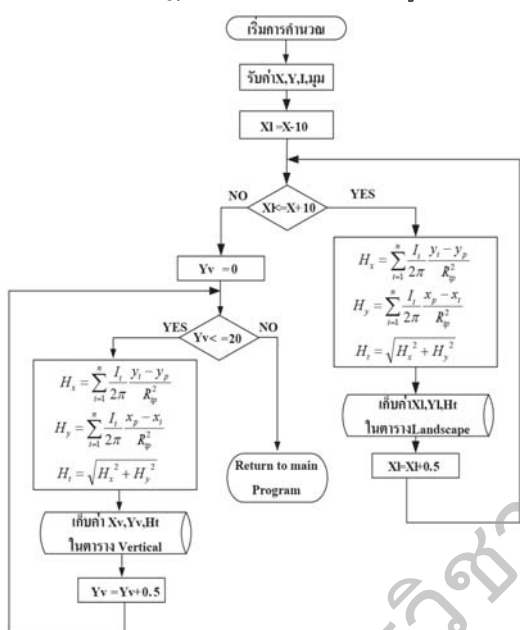
### 2.2 ขั้นตอนการดำเนินของโปรแกรม



รูปที่ 7 แผนภาพแสดงขั้นตอนการทำงานของโปรแกรมคำนวณค่าความเข้มสนามแม่เหล็ก

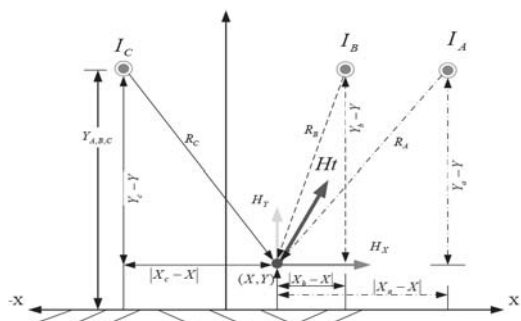
### 2.3 การคำนวณความเข้มสนามแม่เหล็กของโปรแกรม

สมการและขั้นตอนการคำนวณที่ใช้ในการคำนวณค่าความเข้มสนามแม่เหล็กที่ใช้ในโปรแกรม เป็นไปตามทฤษฎีของ Biot-Savart ดังรูปที่ 9



รูปที่ 8 แผนภาพแสดงขั้นตอนการคำนวณของโปรแกรมคำนวณสนามแม่เหล็ก

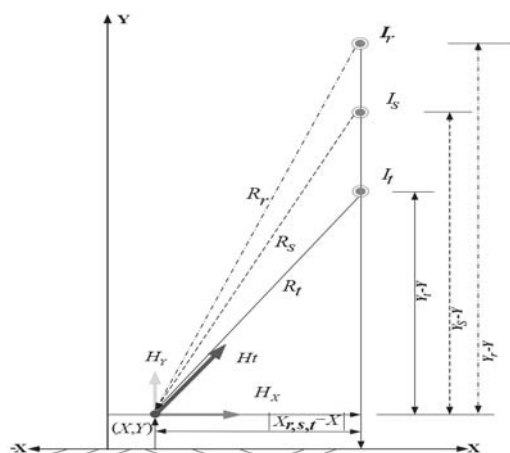
ระบบสายจำหน่ายแรงสูง 22 kV วงจรเดียว หนึ่งตัวนำ มีโครงสร้างและสมการการคำนวณค่าความเข้มสนามแม่เหล็ก ดังนี้



รูปที่ 9 ความเข้มสนามแม่เหล็กของสายตัวนำระบบจำหน่ายแรงสูง 22kV ที่มีความยาวอนันต์

$$\begin{aligned}
 H_{X_r} &= \frac{I_a \cos \theta_a (Y_a - Y)}{2\pi \sqrt{(Y_a - Y)^2 + (X_a - X)^2}} + \frac{I_b \cos \theta_b (Y_b - Y)}{2\pi \sqrt{(Y_b - Y)^2 + (X_b - X)^2}} \\
 &\quad + \frac{I_c \cos \theta_c (Y_c - Y)}{2\pi \sqrt{(Y_c - Y)^2 + (X_c - X)^2}} \\
 H_{X_l} &= \frac{I_a \sin \theta_a (Y_a - Y)}{2\pi \sqrt{(Y_a - Y)^2 + (X_a - X)^2}} + \frac{I_b \sin \theta_b (Y_b - Y)}{2\pi \sqrt{(Y_b - Y)^2 + (X_b - X)^2}} \\
 &\quad + \frac{I_c \sin \theta_c (Y_c - Y)}{2\pi \sqrt{(Y_c - Y)^2 + (X_c - X)^2}} \\
 H_{Y_r} &= \frac{I_a \cos \theta_a (X_a - X)}{2\pi \sqrt{(Y_a - Y)^2 + (X_a - X)^2}} + \frac{I_b \cos \theta_b (X_b - X)}{2\pi \sqrt{(Y_b - Y)^2 + (X_b - X)^2}} \\
 &\quad + \frac{I_c \cos \theta_c (X_c - X)}{2\pi \sqrt{(Y_c - Y)^2 + (X_c - X)^2}} \\
 H_{Y_l} &= \frac{I_a \sin \theta_a (X_a - X)}{2\pi \sqrt{(Y_a - Y)^2 + (X_a - X)^2}} + \frac{I_b \sin \theta_b (X_b - X)}{2\pi \sqrt{(Y_b - Y)^2 + (X_b - X)^2}} \\
 &\quad + \frac{I_c \sin \theta_c (X_c - X)}{2\pi \sqrt{(Y_c - Y)^2 + (X_c - X)^2}}
 \end{aligned}$$

ระบบสายล่างแรงสูง 115 kV วงจรเดียวหนึ่งตัวนำ มีโครงสร้างและสมการการคำนวณค่าความเข้มสนามแม่เหล็ก ดังนี้



รูปที่ 10 ความเข้มสนามแม่เหล็กของสายตัวนำระบบสายสูง 115 kV ที่มีความยาวอนันต์

$$H_{X_r} = \frac{I_r \cos \theta_R (Y_r - Y)}{2\pi \left( \sqrt{(Y_r - Y)^2 + (X_r - X)^2} \right)^2} + \frac{I_s \cos \theta_S (Y_s - Y)}{2\pi \left( \sqrt{(Y_s - Y)^2 + (X_s - X)^2} \right)^2}$$

$$+ \frac{I_t \cos \theta_T (Y_t - Y)}{2\pi \left( \sqrt{(Y_t - Y)^2 + (X_t - X)^2} \right)^2}$$

$$H_{X_t} = \frac{I_r \sin \theta_R (Y_r - Y)}{2\pi \left( \sqrt{(Y_r - Y)^2 + (X_r - X)^2} \right)^2} + \frac{I_s \sin \theta_S (Y_s - Y)}{2\pi \left( \sqrt{(Y_s - Y)^2 + (X_s - X)^2} \right)^2}$$

$$+ \frac{I_t \sin \theta_T (Y_t - Y)}{2\pi \left( \sqrt{(Y_t - Y)^2 + (X_t - X)^2} \right)^2}$$

$$H_{Y_r} = \frac{I_r \cos \theta_R (X_r - X)}{2\pi \left( \sqrt{(Y_r - Y)^2 + (X_r - X)^2} \right)^2} + \frac{I_s \cos \theta_S (X_s - X)}{2\pi \left( \sqrt{(Y_s - Y)^2 + (X_s - X)^2} \right)^2}$$

$$+ \frac{I_t \cos \theta_T (X_t - X)}{2\pi \left( \sqrt{(Y_t - Y)^2 + (X_t - X)^2} \right)^2}$$

$$H_{Y_t} = \frac{I_r \sin \theta_R (X_r - X)}{2\pi \left( \sqrt{(Y_r - Y)^2 + (X_r - X)^2} \right)^2} + \frac{I_s \sin \theta_S (X_s - X)}{2\pi \left( \sqrt{(Y_s - Y)^2 + (X_s - X)^2} \right)^2}$$

$$+ \frac{I_t \sin \theta_T (X_t - X)}{2\pi \left( \sqrt{(Y_t - Y)^2 + (X_t - X)^2} \right)^2}$$

$$H_X = \sqrt{H_{X_r}^2 + H_{X_t}^2}$$

$$H_Y = \sqrt{(H_{Y_r})^2 + (H_{Y_t})^2}$$

$$H_z = \sqrt{H_X^2 + H_Y^2}$$

เมื่อ  $I_a$  คือ กระแสแลี่ซ์จานของสายไฟสี A (A)

$I_b$  คือ กระแสแลี่ซ์จานของสายไฟสี B (A)

$I_c$  คือ กระแสแลี่ซ์จานของสายไฟสี C (A)

$\cos \theta_A$  คือ มุมของกระแสไฟฟ้า A (Degree)

$\cos \theta_B$  คือ มุมของกระแสไฟฟ้า B (Degree)

$\cos \theta_C$  คือ มุมของกระแสไฟฟ้า C (Degree)

$X$  คือ ระยะพิกัดในแนวระดับของจุดที่คำนวณ (m)

$X_a$  คือ ระยะห่างจุดกึ่งกลางเสาในแนวระดับของสายไฟสี A (m)

$X_b$  คือ ระยะห่างจุดกึ่งกลางเสาในแนวระดับของสายไฟสี B (m)

$X_c$  คือ ระยะห่างจุดกึ่งกลางเสาในแนวระดับของสายไฟสี C (m)

$Y$  คือ ระยะความสูงของจุดที่คำนวณ (m)

$Y_a$  คือ ระยะความสูงสายไฟสี A (m)

$Y_b$  คือ ระยะความสูงสายไฟสี B (m)

$Y_c$  คือ ระยะความสูงสายไฟสี C (m)

$I_r$  คือ กระแสแลี่ซ์จานของสายไฟสี R (A)

$I_s$  คือ กระแสแลี่ซ์จานของสายไฟสี S (A)

$I_t$  คือ กระแสแลี่ซ์จานของสายไฟสี T (A)

$\cos \theta_R$  คือ มุมของกระแสไฟฟ้า R (Degree)

$\cos \theta_S$  คือ มุมของกระแสไฟฟ้า S (Degree)

$\cos \theta_T$  คือ มุมของกระแสไฟฟ้า T (Degree)

$X$  คือ ระยะพิกัดในแนวระดับของจุดที่คำนวณ (m)

$X_r$  คือ ระยะห่างจุดกึ่งกลางเสาในแนวระดับของสายไฟสี R (m)

$X_s$  คือ ระยะห่างจุดกึ่งกลางเสาในแนวระดับของสายไฟสี S (m)

$X_t$  คือ ระยะห่างจุดกึ่งกลางเสาในแนวระดับของสายไฟสี T (m)

$Y$  คือ ระยะความสูงของจุดที่คำนวณ (m)

$Y_r$  คือ ระยะความสูงสายไฟสี R (m)

$Y_s$  คือ ระยะความสูงสายไฟสี S (m)

$Y_t$	คือ ระยะความสูงสายไฟ T (m)
$H_{X_r}$	คือ ความเข้มสนามแม่เหล็กในแนวแกน X อันเกิดจากองค์ประกอบของกระแสล่วงจริง ( $A/m$ )
$H_{X_i}$	คือ ความเข้มสนามแม่เหล็กในแนวแกน X อันเกิดจากองค์ประกอบของกระแสล่วงจินตภาพ
$H_{Y_r}$	คือ ความเข้มสนามแม่เหล็กในแนวแกน Y อันเกิดจากองค์ประกอบของกระแสล่วงจริง ( $A/m$ )
$H_{Y_i}$	คือ ความเข้มสนามแม่เหล็กในแนวแกน X อันเกิดจากองค์ประกอบของกระแสล่วงจินตภาพ ( $A/m$ )
$H_X$	คือ ความเข้มสนามแม่เหล็กในแนวแกน X ( $A/m$ )
$H_Y$	คือ ความเข้มสนามแม่เหล็กในแนวแกน Y ( $A/m$ )
$H_t$	คือ ความเข้มสนามแม่เหล็กรวม ( $A/m$ )

### 3. พลการทดสอบและวิเคราะห์ผล

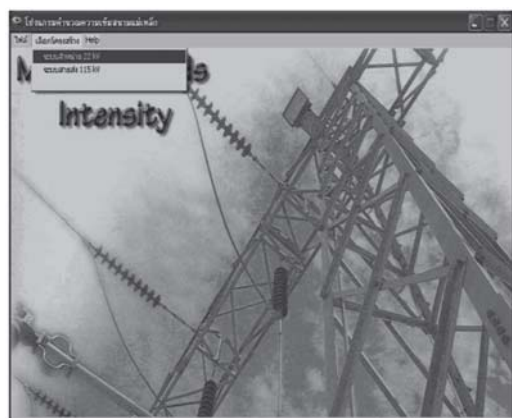
สำหรับการทดสอบได้แบ่งออกเป็น 3 กรณี คือ กรณีที่ 1 ทดสอบด้วยการใช้โปรแกรมคำนวณความเข้มสนามแม่เหล็กของระบบจำหน่ายแรงสูง 22 kV วงจรเดียวหนึ่งตัวนำ เลือกใช้สายไฟขนาด 185A พิกัดกระแสสูงสุดที่ 520 A และเลือกพิกัดกระแสของเฟล A, เฟล B และ เฟล C ที่ 500 A กรณีที่ 2 ทดสอบด้วยการใช้โปรแกรมคำนวณความเข้มสนามแม่เหล็กของระบบสายส่งแรงสูง 115 kV วงจรเดียวหนึ่งตัวนำ เลือกสายไฟขนาด 400A พิกัดกระแสสูงสุดที่ 855 A และเลือกพิกัดกระแสของเฟล A, เฟล B และ เฟล C ที่ 700 A กรณีที่ 3 ทดสอบด้วยการใช้โปรแกรมคำนวณ

ความเข้มสนามแม่เหล็กของระบบจำหน่ายแรงสูง 22 kV วงจรเดียวหนึ่งตัวนำ และเปรียบเทียบผลการคำนวณค่าความเข้มสนามแม่เหล็กที่ได้ด้วยผลที่ได้จากการทดสอบด้วยวิธีการวัดค่าความหนาแน่นสนามแม่เหล็กของระบบจำหน่ายแรงสูง 22 kV วงจรเดียวหนึ่งตัวนำ ด้วยเครื่องมือวัดความหนาแน่นสนามแม่เหล็กมือถือ Handheld ยี่ห้อ DIGICON EMF-827 และวัดกระแสใช้งานด้วย Clamp-on meter ยี่ห้อ HIOKI รุ่น 3282 โดยมีขั้นตอนการทดสอบ ดังนี้

#### 3.1 ขั้นตอนการทดสอบด้วยการใช้โปรแกรมคำนวณความเข้มสนามแม่เหล็กของระบบจำหน่ายแรงสูง 22 kV วงจรเดียวหนึ่งตัวนำ

3.1.1 เรียกใช้โปรแกรมคำนวณความเข้มสนามแม่เหล็ก

3.1.2 เลือกรูปแบบโครงสร้างของระบบไฟฟ้าที่จะทำการทดสอบได้จากหน้าต่างโปรแกรม เลือกโครงสร้าง ดังรูปที่ 11 สำหรับการทดสอบนี้สามารถเลือกระบบจำหน่ายแรงสูง 22 kV



รูปที่ 11 หน้าต่างโปรแกรมสำหรับเลือกโครงสร้างระบบไฟฟ้าเพื่อทำการทดสอบ

3.1.3 เมื่อปรากฏหน้าต่างการรับค่าสำหรับการคำนวณ ดังรูปที่ 5 ให้เลือกข้อมูลและบันทึกค่าเพื่อการคำนวณ ดังนี้

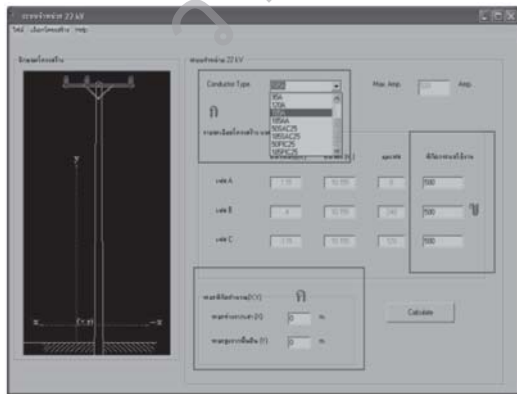
- เลือกชนิดและขนาดของสายไฟจากการที่กำหนดไว้ให้ โดยเลือกขนาดสายไฟที่ 185A ดังรูปที่ 12 (กรอบ ก)

- บันทึกค่าพิกัดกระแสใช้งาน ทั้งนี้ค่าที่บันทึกจะต้องไม่เกินค่าพิกัดกระแสสูงสุดของสายไฟที่ระบุไว้ด้านบนของหน้าต่าง ในที่นี้สายไฟขนาด 185A มีพิกัดกระแสสูงสุด 520 A จึงเลือกพิกัดกระแสที่ใช้ในการคำนวณเฟล A 500 A เฟล B 500 A และ เฟล C 500 A ดังรูปที่ 12 (กรอบ ข)

- ระบุตำแหน่งพิกัด ( $X, Y$ ) โดยเริ่มคำนวณตำแหน่งโคนเสาไฟ (0,0) รูปที่ 12 (กรอบ ค) โดยจะทำการคำนวณ 3 ลักษณะ คือ 1. ตำแหน่งโคนเสาไฟพิกัด (0,0) 2. เปลี่ยนแปลงตำแหน่งพิกัด ในแนวระดับ ( $X$ ) คงที่ตำแหน่งพิกัดในแนวตั้ง ( $Y$ )

- เปลี่ยนแปลงตำแหน่งพิกัดในแนวตั้ง ( $Y$ ) คงที่ตำแหน่งพิกัดในแนวระดับ ( $X$ )

3.1.4 กดปุ่ม “Calculate” เพื่อเริ่มการคำนวณ



รูปที่ 12 หน้าต่างการบันทึกข้อมูลสำหรับการคำนวณความเข้มสนามแม่เหล็กของระบบจำหน่ายแรงสูง 22 kV วงจรเดียวหนึ่งตัวนำ

### 3.2 ขั้นตอนการทดสอบด้วยการใช้โปรแกรมคำนวณความเข้มสนามแม่เหล็กของระบบสายส่งไฟฟ้าแรงสูง 115 kV วงจรเดียวหนึ่งตัวนำ

3.2.1 เรียกใช้โปรแกรมคำนวณความเข้มสนามแม่เหล็ก

3.2.2 เลือกรูปแบบโครงสร้างของระบบไฟฟ้าที่จะทำการทดสอบได้จากหน้าต่างโปรแกรม เลือกโครงสร้าง ดังรูปที่ 11 สำหรับการทดสอบนี้ สามารถเลือกระบบสายส่งไฟฟ้าแรงสูง 115 kV

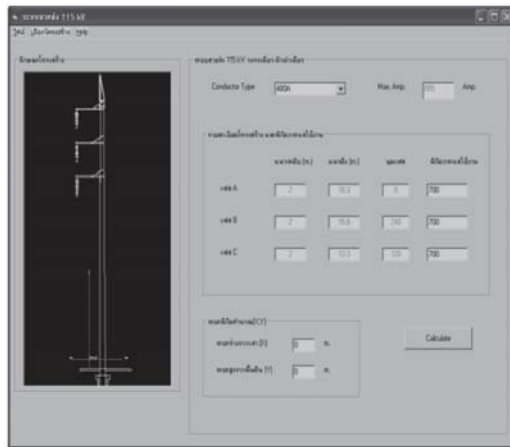
3.2.3 เมื่อปรากฏหน้าต่างการรับค่าสำหรับการคำนวณ ดังรูปที่ 5 ให้เลือกข้อมูลและบันทึกค่าเพื่อการคำนวณ ดังนี้

- เลือกชนิดและขนาดของสายไฟจากการที่กำหนดไว้ให้ โดยเลือกขนาดสายไฟที่ 400A ดังรูปที่ 13

- บันทึกค่าพิกัดกระแสใช้งาน ทั้งนี้ค่าที่บันทึกจะต้องไม่เกินค่าพิกัดกระแสสูงสุดของสายไฟที่ระบุไว้ด้านบนของหน้าต่าง ในที่นี้สายไฟขนาด 400A มีพิกัดกระแสสูงสุด 855 A จึงเลือกพิกัดกระแสที่ใช้ในการคำนวณเฟล A 700 A เฟล B 700 A และ เฟล C 700 A ดังรูปที่ 13

- ระบุตำแหน่งพิกัด ( $X, Y$ ) โดยเริ่มคำนวณตำแหน่งโคนเสาไฟ (0,0) รูปที่ 13 โดยจะทำการคำนวณ 3 ลักษณะ คือ 1. ตำแหน่งโคนเสาไฟพิกัด (0,0) 2. เปลี่ยนแปลงตำแหน่งพิกัดในแนวระดับ ( $X$ ) คงที่ตำแหน่งพิกัดในแนวตั้ง ( $Y$ ) 3. เปลี่ยนแปลงตำแหน่งพิกัดในแนวตั้ง ( $Y$ ) คงที่ตำแหน่งพิกัดในแนวระดับ ( $X$ )

### 3.2.4 กดปุ่ม “Calculate” เพื่อเริ่มการคำนวณ



รูปที่ 13 หน้าต่างการบันทึกข้อมูลสำหรับการคำนวณความเข้มสนามแม่เหล็กของระบบล่งไฟฟ้าแรงสูง 115 kV วงจรเดียวหนึ่งตัวนำ

### 3.3 ขั้นตอนการทดสอบด้วยการใช้โปรแกรมคำนวณความเข้มสนามแม่เหล็กของระบบจ่าหน่ายไฟฟ้าแรงสูง 22 kV วงจรเดียวหนึ่งตัวนำและเปรียบเทียบผลการคำนวณค่าความเข้มสนามแม่เหล็กที่ได้ด้วยผลที่ได้จากการทดสอบด้วยวิธีการวัดค่าความหนาแน่นสนามแม่เหล็กของระบบจ่าหน่ายไฟฟ้าแรงสูง 22 kV วงจรเดียวหนึ่งตัวนำ

3.3.1 ทำการวัดค่ากระแสไฟฟ้าใช้งานจริงของสายไฟฟ้าเฟล A เฟล B และเฟล C ด้วยเครื่องมือวัดกระแสไฟฟ้ากระแสสลับ Clamp-on meter ยี่ห้อ HIOKI รุ่น 3282

3.3.2 ทำการวัดค่าความหนาแน่นสนามแม่เหล็กด้วยเครื่องมือวัดความหนาแน่นสนามแม่เหล็กมือถือ Handheld ยี่ห้อ DIGICON EMF-827 ทำการวัดที่ระดับความสูง 8 เมตร

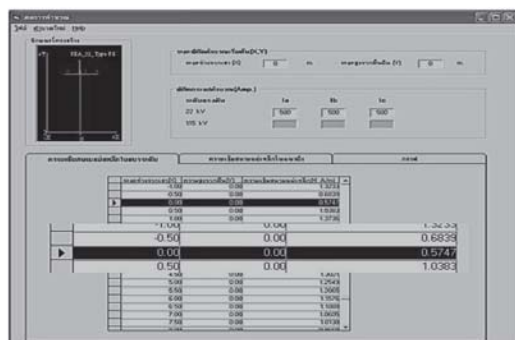
ที่ระยะตามแนวแกน X ที่ระยะ -2,-1, 0, 1, 2,3,4,5 ทำการวัดจุดละ 3 ครั้งแล้วบันทึกผลซึ่งผลดังกล่าวมีหน่วยเป็นไมโครเทลล่า ( $\mu\text{T}$ )

3.3.3 คำนวณเปลี่ยนค่าเลี้นแรงแม่เหล็ก เป็นค่าความเข้มสนามแม่เหล็ก โดยที่ 1 ไมโครเทลล่า ( $\mu\text{T}$ ) เท่ากับ 0.8 แเอมปี/เมตร ( $\text{A/m}$ )

3.3.4 คำนวณค่าความเข้มสนามแม่เหล็กด้วยโปรแกรมคำนวณความเข้มสนามแม่เหล็ก โดยทำการคำนวณที่ระยะเดียวกันกับที่ทำการวัดความหนาแน่นสนามแม่เหล็กจริง และกำหนดกระแสไฟฟ้าในแต่ละเฟลด้วยกระแสใช้งานจริงที่วัดได้ คือ กระแสไฟฟ้าใช้งานจริงที่ เฟล A เท่ากับ 206 A เฟล B เท่ากับ 210.3 A เฟล C เท่ากับ 209.2 A

### 3.4 ผลการทดสอบ

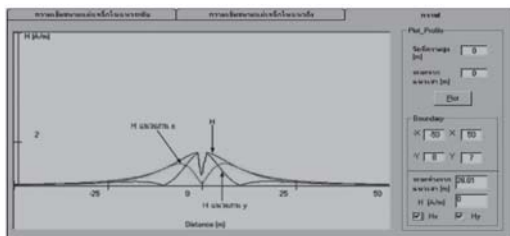
3.4.1 ผลการคำนวณด้วยโปรแกรมคำนวณความเข้มสนามแม่เหล็กในระบบจำหน่ายไฟฟ้าแรงสูง 22 kV วงจรเดียวหนึ่งตัวนำ ดังรูปที่ 14



รูปที่ 14 ตารางแสดงผลการคำนวณแสดงความเข้มสนามแม่เหล็กที่พิกัด (0,0) ของระบบจำหน่ายไฟฟ้าแรงสูง 22 kV มีค่าเท่ากับ 0.5747 A/m

ตารางที่ 1 สรุปผลการคำนวณความเข้มสนามแม่เหล็กของระบบจำหน่าย 22 kV วงจรเดียวหนึ่งตัวนำ เมื่อเปลี่ยนแปลงพิกัดในแนวระดับ (X) คงที่พิกัดในแนวตั้ง (Y) และเมื่อคงที่พิกัดในแนวระดับ (X) เปลี่ยนแปลงพิกัดในแนวตั้ง (Y)

ระยะห่างจากเลา (m)	สูงจากพื้น (m)	ความเข้มสนามแม่เหล็ก (A/m)	ระยะห่างจากเลา (m)	สูงจากพื้น (m)	ความเข้มสนามแม่เหล็ก (A/m)
-10.00	0.00	0.7956	0.00	0.00	0.5747
-9.00	0.00	0.8777	0.00	1.00	0.7060
-8.00	0.00	0.9667	0.00	2.00	0.8877
-7.00	0.00	1.0613	0.00	3.00	1.1494
-6.00	0.00	1.1594	0.00	4.00	1.5454
-5.00	0.00	1.2573	0.00	5.00	2.1855
-4.00	0.00	1.3501	0.00	6.00	3.3166
-3.00	0.00	1.4320	0.00	7.00	5.5886
-2.00	0.00	1.4962	0.00	8.00	11.1477
-1.00	0.00	1.3233	0.00	9.00	29.9579
0.00	0.00	0.5747	0.00	10.00	119.894
1.00	0.00	1.3736	0.00	11.00	44.7342
2.00	0.00	1.4944	0.00	12.00	14.5414
3.00	0.00	1.4294	0.00	13.00	6.7698
4.00	0.00	1.3474	0.00	14.00	3.8470
5.00	0.00	1.2549	0.00	15.00	2.4655
6.00	0.00	1.1576	0.00	16.00	1.7102
7.00	0.00	1.0605	0.00	17.00	1.2542
8.00	0.00	0.9668	0.00	18.00	0.9584
9.00	0.00	0.8788	0.00	19.00	0.7558
10.00	0.00	0.7976	0.00	20.00	0.6112

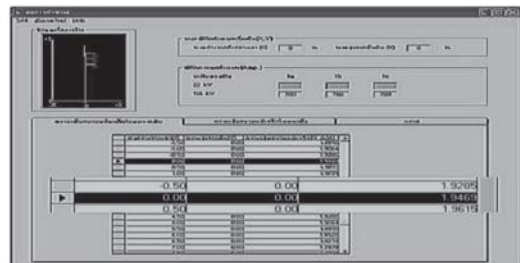


รูปที่ 15 กราฟแสดงความเข้มสนามแม่เหล็กที่กระแล แต่ละเฟล์มีขนาด 500 A ของระบบจำหน่าย แรงสูง 22 kV วงจรเดียวหนึ่งตัวนำ

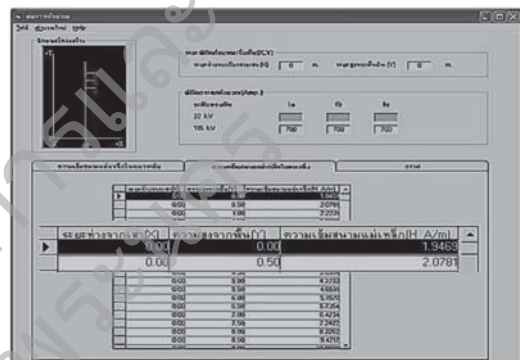
3.4.2 ผลการคำนวณด้วยโปรแกรมคำนวณ ความเข้มสนามแม่เหล็กในระบบสายล่างแรงสูง 115 kV วงจรเดียวหนึ่งตัวนำ ดังรูปที่ 16



รูปที่ 16 หน้าต่างการบันทึกข้อมูลสำหรับการคำนวณ ความเข้มสนามแม่เหล็กของระบบสายล่าง แรงสูง 115 kV วงจรเดียวหนึ่งตัวนำ



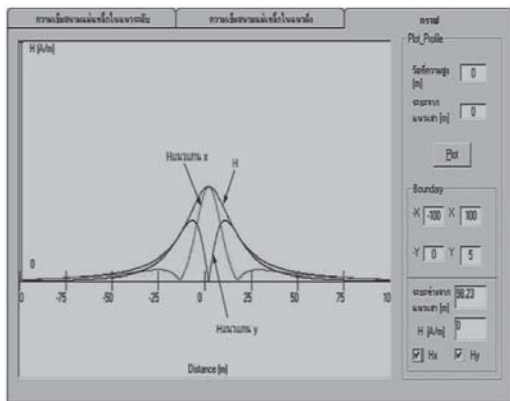
รูปที่ 17 ตารางแสดงผล การคำนวณความเข้มสนาม แม่เหล็กที่พิกัด (0,0) และเปลี่ยนแปลงพิกัด ในแนวระดับ (X) คงที่พิกัดในแนวตั้ง (Y) ของระบบสายล่างแรงสูง 115 kV วงจรเดียว หนึ่งตัวนำ มีค่าเท่ากับ 1.9469 A/m



รูปที่ 18 ผลการคำนวณความเข้มสนามแม่เหล็กเมื่อ เปลี่ยนแปลงพิกัดในแนวระดับ (X) คงที่พิกัด ในแนวตั้ง (Y)

ตารางที่ 2 สรุปผลการคำนวณความเข้มสนามแม่เหล็กของระบบจำหน่าย 115 kV เมื่อเปลี่ยนแปลงพิกัดในแนวระดับ (X) คงที่พิกัดในแนววัด (Y) และเมื่อคงที่พิกัดในแนวระดับ (X) เปลี่ยนแปลงพิกัดในแนววัด (Y)

ระยะห่าง จากเสา (m)	สูงจากพื้น (m)	ความเข้มสนาม แม่เหล็ก (A/m)	ระยะห่างจาก เสา (m)	สูงจากพื้น (m)	ความเข้มสนาม แม่เหล็ก (A/m)
-10.00	0.00	1.2280	0.00	0.00	1.9469
-9.00	0.00	1.3065	0.00	1.00	2.2231
-8.00	0.00	1.3877	0.00	2.00	2.5626
-7.00	0.00	1.4706	0.00	3.00	2.9863
-6.00	0.00	1.5539	0.00	4.00	3.5248
-5.00	0.00	1.6360	0.00	5.00	4.2233
-4.00	0.00	1.7147	0.00	6.00	5.1520
-3.00	0.00	1.7878	0.00	7.00	6.4234
-2.00	0.00	1.8525	0.00	8.00	8.2262
-1.00	0.00	1.9064	0.00	9.00	10.8909
0.00	0.00	1.9469	0.00	10.00	15.0176
1.00	0.00	1.9721	0.00	11.00	21.6725
2.00	0.00	1.9806	0.00	12.00	32.2475
3.00	0.00	1.9721	0.00	13.00	45.6364
4.00	0.00	1.9469	0.00	14.00	35.5401
5.00	0.00	1.9064	0.00	15.00	29.5219
6.00	0.00	1.8525	0.00	16.00	39.8561
7.00	0.00	1.7878	0.00	17.00	27.6208
8.00	0.00	1.7147	0.00	18.00	43.7588
9.00	0.00	1.6759	0.00	19.00	40.3584
10.00	0.00	1.5539	0.00	20.00	27.5337

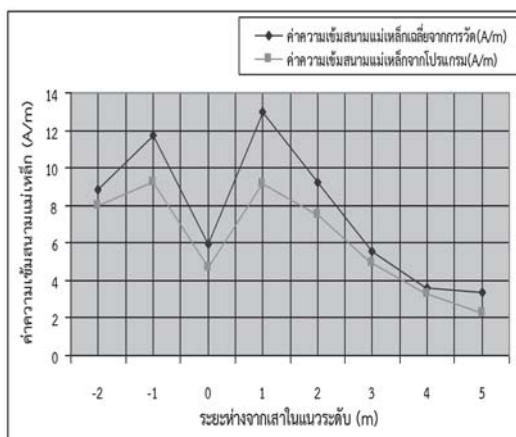


รูปที่ 19 กราฟแสดงความเข้มสนามแม่เหล็กที่กระแสแต่ละเฟล์มีขนาด 700 A ของระบบสายส่งแรงสูง 115 kV วงจรเดียวหนึ่งตัวนำ

ตารางที่ 3 เปรียบเทียบผลที่ได้จากการคำนวณค่าความเข้มสนามแม่เหล็กด้วยโปรแกรมคำนวณความเข้มสนามแม่เหล็กกับผลที่ได้จากการวัดค่าความหนาแน่นสนามแม่เหล็กของระบบจ่ายแรงสูง 22 kV วงจรเดียวหนึ่งตัวนำ

ห่างจากเสา (m)	สูงจากพื้น (m)	ค่าความเข้มสนามแม่เหล็ก เฉลี่ยจากการวัด (A/m)	ค่าความเข้มสนามแม่เหล็ก จากการโปรแกรม (A/m)	ความแตกต่าง (%)
-2.00	8.00	8.83	8.00	9.34
-1.00	8.00	11.75	9.22	21.53
0.00	8.00	5.95	4.73	20.50
1.00	8.00	12.99	9.14	29.64
2.00	8.00	9.24	7.52	18.61
3.00	8.00	5.52	4.93	10.69
4.00	8.00	3.60	3.25	9.72
5.00	8.00	3.37	2.25	33.23

3.4.3 ผลการเปรียบเทียบผลที่ได้จากการคำนวณค่าความเข้มสนามแม่เหล็กด้วยโปรแกรมคำนวณความเข้มสนามแม่เหล็กกับผลที่ได้จากการวัดค่าความหนาแน่นสนามแม่เหล็กของระบบจ่ายแรงสูง 22 kV วงจรเดียวหนึ่งตัวนำที่ระดับความสูง 8 เมตร ที่ระยะ -2,-1, 0, 1, 2, 3, 4, 5 เมตร



รูปที่ 20 กราฟเปรียบเทียบผลที่ได้จากการคำนวณค่าความเข้มสนานแม่เหล็กด้วยโปรแกรมคำนวณความเข้มสนานแม่เหล็กกับผลที่ได้จากการวัด

### 3.5 วิจารณ์ผลการทดสอบ

จากการทดสอบโปรแกรมที่ออกแบบและพัฒนาขึ้นด้วยวิธีการคำนวณ พบร้า โปรแกรมสามารถใช้งานได้ง่าย ให้ผลการคำนวณที่รวดเร็ว และทำให้เข้าใจถูกต้องรวมของค่าความเข้มสนานแม่เหล็กไฟฟ้ากับระยะห่างได้เป็นอย่างดี ส่วนการแสดงผลสามารถแสดงเป็นกราฟเล่นสีต่าง ๆ โดยเดลคณิตศาสตร์ที่ใช้ในโปรแกรมนั้นอ้างอิงตามมาตรฐานการใช้งานของการไฟฟ้าส่วนภูมิภาค ซึ่งเป็นโนเมเดลที่ได้รับการตรวจสอบอย่างถูกต้องมาแล้ว ดังนั้น สามารถมั่นใจในผลการคำนวณของโปรแกรมได้เป็นอย่างดี สำหรับการเปรียบเทียบผลที่ได้จากการวัด กับผลที่ได้จากการคำนวณด้วยโปรแกรมที่พัฒนาขึ้นนั้นมีค่าความเข้มสนานแม่เหล็กของสายล่งและสายนำไฟฟ้าแรงสูงในบริเวณพื้นที่โล่งแจ้ง เท่านั้น จึงทำให้โปรแกรมไม่สามารถคำนวณค่าความเข้มสนานแม่เหล็กในบริเวณที่มีลิ่งกำบังต่าง ๆ หรือต้นไม้ คอนกรีต เหล่านั้นสามารถซึมซับความเข้มสนานแม่เหล็กได้ส่วนหนึ่ง

ออกแบบบนเงื่อนไขการคำนวณค่าความเข้มสนานแม่เหล็กของสายล่งและสายนำไฟฟ้าแรงสูงในบริเวณพื้นที่โล่งแจ้ง จึงทำให้มีข้อจำกัดในเรื่องที่ไม่สามารถคำนวณค่าความเข้มสนานแม่เหล็กในบริเวณที่มีลิ่งกำบัง เช่น ต้นไม้ คอนกรีต ซึ่งอาจเป็นสาเหตุหนึ่งที่ทำให้ผลการเปรียบเทียบค่าที่วัดได้กับค่าที่ได้จากการคำนวณด้วยโปรแกรมมีความแตกต่างกันค่อนข้างสูง

### 4. สรุป

จากการคำนวณค่าความเข้มสนานแม่เหล็กโดยใช้โปรแกรมคำนวณค่าความเข้มสนานแม่เหล็กที่พัฒนาขึ้น พบร้า ค่าความเข้มของสนานแม่เหล็กจะแปรผันตรงกับกระแสไฟฟ้าและประพฤติ กับระยะห่างจากแนวสายล่งและแนวสายนำไฟฟ้าแรงสูง ซึ่งระดับความเข้มสนานแม่เหล็กจะมากขึ้น เมื่อมีกระแสไฟฟ้าในและเพลสูงขึ้น แต่จะมีระดับลดลง เมื่อระยะห่างจากแนวสายล่งและสายนำไฟฟ้าแรงสูงเพิ่มมากขึ้น โปรแกรมที่พัฒนาขึ้นนี้มีข้อจำกัด เนื่องมาจากโปรแกรมนั้นได้ทำการออกแบบและพัฒนาขึ้นบนเงื่อนไขของการคำนวณค่าความเข้มสนานแม่เหล็กของสายล่งและสายนำไฟฟ้าแรงสูงในบริเวณพื้นที่โล่งแจ้งเท่านั้น จึงทำให้โปรแกรมไม่สามารถคำนวณค่าความเข้มสนานแม่เหล็กในบริเวณที่มีลิ่งกำบังต่าง ๆ หรือต้นไม้ คอนกรีต เหล่านั้นสามารถซึมซับความเข้มสนานแม่เหล็กได้ส่วนหนึ่ง

โปรแกรมการคำนวณค่าความเข้มสนานแม่เหล็กของสายล่งและสายนำไฟฟ้าแรงสูงที่ได้จากการออกแบบและพัฒนาขึ้นจากโปรแกรม Microsoft Visual Basic เป็นประโยชน์ต่อการ

ทำนายหรือคาดการณ์การเกิดสนามแม่เหล็กจากสายส่งจ่ายไฟฟ้าแรงสูง และสายจำหน่ายไฟฟ้าแรงสูงในระบบ 22 kV วงจรเดียวหนึ่งตัวนำ และ 115 kV วงจรเดียวหนึ่งตัวนำ ว่าจะเกิดสนามแม่เหล็กจากการมีระดับปริมาณเท่าใด รวมถึงใช้เป็นข้อมูลช่วยในการออกแบบการวางแนวสายลงและแนวสายจำหน่ายไฟฟ้าแรงสูงได้โดยเฉพาะในกรณีที่ต้องพิจารณา ในเรื่องของผลกระทบของสนามแม่เหล็กที่มีต่อมนุษย์อุปกรณ์ไฟฟ้า คอมพิวเตอร์ อุปกรณ์ลือสาร เครื่องใช้ไฟฟ้าต่าง ๆ รวมถึงต้นไม้ ต้นพืชในการเกษตรที่อยู่ภายใต้บริเวณแนวสายลง และสายจำหน่ายไฟฟ้าแรงสูง และในการวิเคราะห์ค่าความเข้มสนามแม่เหล็กนั้นยังจำเป็นต้องใช้ข้อมูลจากการวัดมาประกอบกับข้อมูลที่ได้จากการคำนวณด้วย

## 5. กิตติกรรมประกาศ

ผู้วิจัยขอขอบคุณ คุณพิลันต์ จิตต์บลีม วิศวกร ระดับ 6 กองบริการลูกค้า ฝ่ายบริการ การไฟฟ้าส่วนภูมิภาค เขต 3 (ภาคกลาง) จังหวัดนครปฐม ที่เอื้อเฟื้อข้อมูล และสนับสนุนการพัฒนาโปรแกรม คุณลารา สายทอง ที่สนับสนุนด้านการวัดและขอขอบคุณผู้เกี่ยวข้องที่ให้การสนับสนุนผลงานวิจัยนี้จนสำเร็จลุล่วงด้วยดี

## 6. เอกสารอ้างอิง

กองผังกิจกรรมการไฟฟ้าส่วนภูมิภาค. 2544.  
มาตรฐานการก่อสร้างระบบจำหน่าย 22-  
33kv, ม.ป.ท.  
กองวิศวกรรมไฟฟ้าและเครื่องกลการไฟฟ้าส่วน  
ภูมิภาค. 2532. คู่มือการก่อสร้างสายส่ง  
ไฟฟ้าแรงสูง 115 กิโลโวลต์, ม.ป.ท.

ชวิติ ดำรงรัตน์. 2541. การส่งจ่ายกำลังไฟฟ้า

เล่ม 1. กรุงเทพฯ: บริษัท ซีเอ็ดดิจิทัล เคชั่น  
จำกัด.

พิทักษ์ ปืนอนงค์ และ ศิริวัฒน์ โพธิเวชกุล. 2545.  
การวิเคราะห์สนามแม่เหล็กไฟฟ้าและผล  
กระบวนการที่เกิดขึ้นจากสายส่งไฟฟ้าแรงสูง 500  
กิโลโวลต์. การประชุมวิชาการทางวิศวกรรม  
ไฟฟ้า ครั้งที่ 23, พ.ศ. 2543.

ศักดา สมกุล และ เทพบดินทร์ บริรักษ์อรavinท์.  
ม.ป.ท. ระดับสนามไฟฟ้าและสนามแม่เหล็ก  
ที่ปล่อยภัย. <http://www.nimt.or.th/nimt/upload/linkfile/sys-metrology-1014-110.pdf>

Govindarajan B. Iyyuni and Stephen A Sebo.  
1990. Study of Transmission Line  
Magnetic Fields. IEEE.

IEEE Std 644-1994, IEEE Standard  
Procedures for Measurement of  
Power Frequency Electric and  
Magnetic Fields From AC Power  
Lines.

Kaune, W.T., and Zaffanella, L.E. 1992.  
Analysis of magnetic fields produced  
far from electric power lines. IEEE  
Transactions on Power Delivery.

LaForest, J.J. 1982. Transmission Line  
Reference Book 345 kV and Above.  
Electric Power Research Institute, Inc.  
USA.

William H. Hayt, J.R. 1989. Engineering  
Electromagnetics. McGraw-hill  
International Editions.